

## ВЛИЯНИЕ РОСТОВЫХ ДИСЛОКАЦИЙ НА ВРЕМЯ ЖИЗНИ ЭЛЕКТРОНОВ В $n\text{-Cd}_x\text{Hg}_{1-x}\text{Te}$

Григорьев Н. Н., Караваевцева Л. А., Курбанов К. Р.,  
Любченко А. В.

Исследовано влияние ростовых дислокаций как стоков неравновесных носителей заряда (ННЗ) на процессы рекомбинации в кристаллах  $n\text{-Cd}_x\text{Hg}_{1-x}\text{Te}$  ( $x \sim 0.20 \div 0.22$ ) с плотностью дислокаций  $N_D = 4 \cdot 10^4 \div 2 \cdot 10^6 \text{ см}^{-2}$ . Установлено, что ростовые дислокации ограничивают время жизни электронов при плотности  $N_D \geq 10^6 \text{ см}^{-2}$ . Рассмотренная модель диффузии ННЗ к цилиндрическим включениям в отличие от традиционной модели дислокации с заданным сечением захвата ННЗ позволила оценить радиус дислокации как рекомбинационного стока и скорость рекомбинации на границе «включение—матрица». Установлено, что радиус области обеднения ННЗ вокруг дислокации ниже диффузионной длины неосновных носителей заряда и зависит от радиуса дислокации.

Твердые растворы  $\text{Cd}_x\text{Hg}_{1-x}\text{Te}$  (КРТ) характеризуются развитой структурой точечных и протяженных дефектов [1]. Установлено [2, 3], что протяженные дефекты (в частности, включения второй фазы) в КРТ, являясь эффективными стоками неравновесных носителей заряда (ННЗ), ограничивают время жизни носителей ( $\tau$ ) в полупроводниковой матрице. Одним из наиболее характерных видов протяженных дефектов являются равномерно распределенные по кристаллу и ориентированные в одном направлении дислокации. Следует отметить, что наиболее изученные пластически деформированные кристаллы  $\text{Cd}_x\text{Hg}_{1-x}\text{Te}$  наряду с дислокациями содержат и другие дефекты, оказывающие существенное влияние на физические параметры материала [4]. Цель данной работы — анализ влияния ростовых дислокаций как стоков ННЗ на рекомбинацию в матрице кристаллов КРТ.

Исследовались кристаллы  $n\text{-Cd}_x\text{Hg}_{1-x}\text{Te}$  состава  $x \simeq 0.20 \div 0.22$  с плотностью ростовых дислокаций  $N_D$  от  $4 \cdot 10^4$  до  $2 \cdot 10^6 \text{ см}^{-2}$ . Для формирования такого диапазона  $N_D$  пластина КРТ подвергалась высокотемпературному отжигу в градиенте температур. Затем проводился стехиометризующий отжиг для получения материала  $n$ -типа проводимости с ожидаемым равномерным распределением фона примесей ( $n \simeq 10^{15} \text{ см}^{-3}$ ). Образцы вырезались перпендикулярно градиенту плотности дислокаций при условии  $\Delta N_D/N_D < 0.5$ ; плотность границ субблоков составляла  $2 \div 7 \text{ см}^{-1}$ . Результаты металлографического анализа указывают на равномерное распределение дислокаций по толщине образца.

Зависимость подвижности ( $\mu_s$ ) концентрации ( $n$ ) и времени жизни электронов от величины  $N_D$  относительно значений  $\mu_0 = 1.6 \cdot 10^5 \text{ см}^2/\text{В} \cdot \text{с}$ ,  $n_0 = 1.1 \cdot 10^{15} \text{ см}^{-3}$  и  $\tau_0 = 9 \cdot 10^{-7} \text{ с}$  для  $N_D = 4 \cdot 10^4 \text{ см}^{-2}$  (77 К) представлена на рис. 1. С увеличением плотности дислокаций измеряемые значения  $\mu_s$  и  $n$  практически не меняются, в то же время при  $N_D > 10^6 \text{ см}^{-2}$  имеет место заметный спад величины  $\tau$ . Понижение подвижности электронов с увеличением  $N_D$  регистрировалось лишь при  $T < 50 \text{ K}$ ; коэффициент Холла в этом диапазоне температур вплоть до 4.2 К сохранял свое значение.

Для количественного анализа рекомбинационной активности дислокаций рассмотрим модель неоднородного полупроводника, содержащего цилиндрические включения радиуса  $r_c$  с отличающейся от объемной скоростью рекомбинации. Различие рекомбинационных параметров матрицы и включения даже

при однородной фотогенерации создает диффузионный поток, который можно охарактеризовать параметром  $s$ , имеющим смысл «внутренней» скорости рекомбинации на геометрической границе раздела.

Решением стационарного уравнения непрерывности в цилиндрических координатах (в предположении равномерного поглощения света в объеме) является выражение [5]

$$n(r) = G\tau \left[ 1 - \frac{\gamma K_0(r/L)}{K_1(r_c/L) + \gamma K_0(r_c/L)} \right], \quad (1)$$

при выводе которого учтены следующие граничные условия:

$$\begin{aligned} n(r)(r \rightarrow \infty) &= G\tau, \\ \frac{1}{G} j_n(r=r_c) &= D \frac{dn}{dr} \Big|_{r=r_c} = s n(r=r_c), \end{aligned}$$

где  $G$  — скорость генерации ННЗ,  $\gamma = sL/D$ ,  $L$  — диффузионная длина неосновных ННЗ,  $D$  — коэффициент диффузии ННЗ,  $K_0$ ,  $K_1$  — модифицированные функции Бесселя,  $j_n$  — диффузионный ток ННЗ.

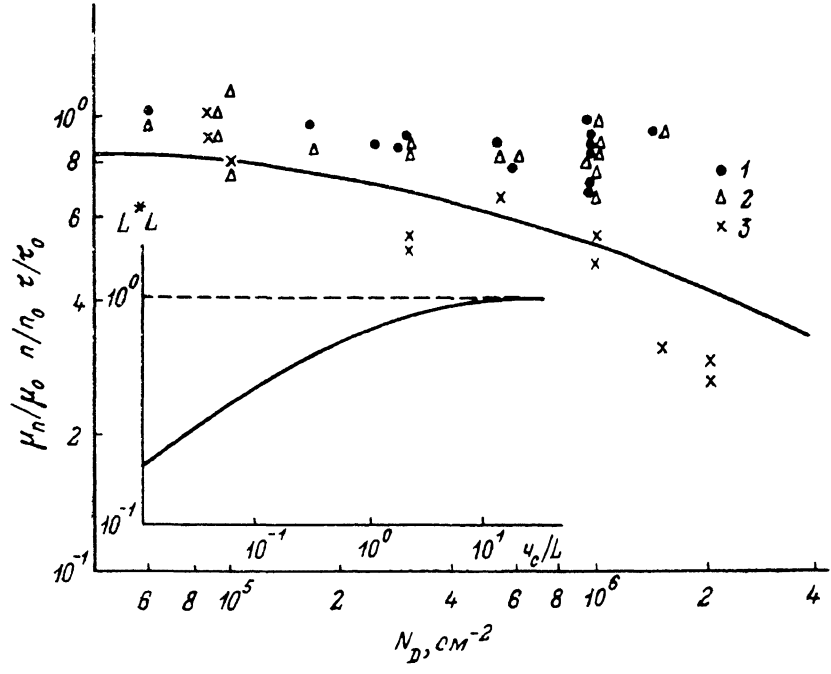


Рис. 1. Зависимость относительных значений концентрации (1), подвижности (2) и времени жизни (3) электронов от плотности дислокаций в кристаллах  $n\text{-Cd}_x\text{Hg}_{1-x}\text{Te}$ .

Сплошная кривая — расчет. На вставке — зависимость характеристической длины  $L^*$  от радиуса цилиндрических включений  $r_c$ .

Нетривильным следствием формулы (1) является размерный эффект, т. е. зависимость радиуса области обеднения ННЗ вокруг включения ( $L^*$ ) от его размера. Действительно, характеристическая длина  $L^*$  определяется на основании (1) из соотношения  $K_0(L^*/L) = e^{-1}K_0(r_c/L)$  и зависит от радиуса  $r_c$  следующим образом (см. вставку на рис. 1): при малых значениях радиуса относительно диффузионной длины ННЗ ( $r_c \ll L$ )  $L^* \sim \sqrt{r_c L}$ , а при больших ( $r_c \gg L$ ) —  $L^* \rightarrow L$ .

После усреднения концентрации ННЗ в области  $r_c \leq r \leq R = (2\sqrt{N_D})^{-1}$  и учета  $\bar{n} = G\tau$  для эффективного времени жизни из (1) получаем

$$\bar{\tau} = \tau_0 \left\{ 1 - \frac{2L^2}{R^2} \frac{\left[ \frac{r_c}{L} K_1\left(\frac{r_c}{L}\right) - \frac{R}{L} K_1\left(\frac{R}{L}\right) \right]}{\left[ K_0\left(\frac{r_c}{L}\right) - \gamma^{-1} K_1\left(\frac{r_c}{L}\right) \right]} \right\}. \quad (2)$$

Параметр  $s$  в этом случае описывается выражением

$$s = \frac{D}{L} K_1\left(\frac{r_c}{L}\right) \left\{ \frac{2L^2}{R^2} \frac{\tau_0}{\tau_0 - \tau} \left[ \frac{r_c}{L} K_1\left(\frac{r_c}{L}\right) - \frac{R}{L} K_1\left(\frac{R}{L}\right) \right] - K_0\left(\frac{r_c}{L}\right) \right\}^{-1}. \quad (3)$$

Расчет зависимости  $s(r_c)$ , приведенный на рис. 2, свидетельствует о том, что параметр  $s$  принимает конечные положительные значения лишь при  $r_c > r_c^{\min}$ .

Расчет концентрационной зависимости времени жизни (рис. 1, сплошная кривая) проведен согласно (2) с использованием реальных значений  $L=20$  мкм

и  $D=10$  см<sup>2</sup>/с [6]. Заметный спад экспериментальной зависимости  $\tau(N_D)$  наступает при  $N_D \sim 10^6$  см<sup>-2</sup>, когда характеристическая длина  $L^*$  становится сравнимой с величиной, равной половине междислокационного расстояния  $R=5$  мкм. Полученное значение характеристической длины  $L^*=5$  мкм соответствует  $r_c=0.4$  мкм (см. вставку на рис. 1) и  $s=1.3 \cdot 10^{-5}$  см/с.

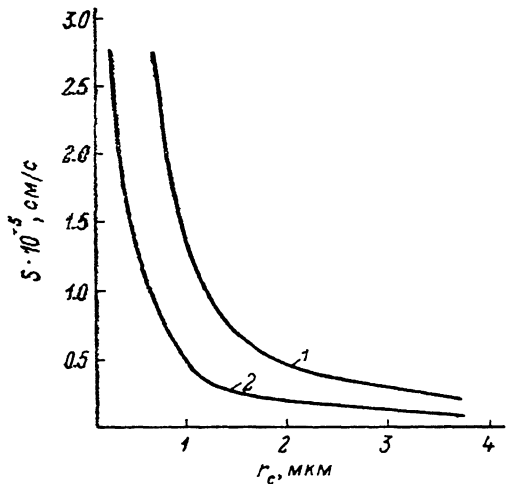


Рис. 2. Зависимость скорости поверхностной рекомбинации  $s$  от радиуса включений  $r_c$  при  $N_D=10^6$  см<sup>-2</sup>.

$\tau/\tau_0$ : 1 — 0.5, 2 — 0.6.

Таким образом, ростовые дислокации в кристаллах Cd<sub>x</sub>Hg<sub>1-x</sub>Te ( $x \sim 0.21$ ,  $n \sim 10^{15}$  см<sup>-3</sup>), являясь эффективными стоками неравновесных носителей заряда, ограничивают время жизни электронов на уровне  $N_D \geq 10^6$  см<sup>-2</sup>. Модель диффузии ННЭ к включениям в отличие от традиционной модели дислокации с заданным сечением захвата ННЭ [7] позволила оценить радиус дислокации как рекомбинационного стока и скорость рекомбинации на границе включение — матрица. Полученное значение радиуса прилегающей к дислокации области с отличающейся от объемной скоростью рекомбинации намного превышает радиус ядра дислокации, составляющий 10<sup>-3</sup> мкм [8].

#### Список литературы

- [1] Grillman C. I., Farrer R. A. // J. Mater. Sci. 1977. V. 12. N 10. P. 1994—2000.
- [2] Власенко А. И., Гаврилюк Ю. Н., Латута В. З. и др. // Письма ЖТФ. 1979. Т. 5. В. 16. С. 1013—1017.
- [3] Григорьев Н. Н., Любченко А. В., Сальков Е. А. // УФЖ. 1989. Т. 34. В. 7. С. 1088—1092.
- [4] Гасан-заде С. Г., Сальков Е. А., Шепельский Г. А. // ФТП. 1983. Т. 17. В. 11. С. 1913—1917.
- [5] Янке Е., Эмде Ф., Леш Ф. Специальные функции. М., 1977. 344 с.
- [6] Любченко А. В., Сальков Е. А., Сизов Ф. Ф. Физические основы полупроводниковой инфракрасной фотоэлектроники. Киев, 1984. 392 с.
- [7] Fidelski T. // Phys. St. Sol. (a). 1965. V. 10. P. 75—78.
- [8] Schaake H. F., Tregilgas J. H., Levis A. J., Everett P. M. // J. Vac. Sci. Techn. 1983. V. A1. N 3. P. 1625—1630.

Институт полупроводников АН УССР  
Киев

Получена 1.06.1990  
Принята к печати 12.11.1990